

### 第三次作业

第一小题：

$$H = -\frac{\hbar^2}{2m} \frac{d^2}{dx^2} + \frac{1}{2} m \omega^2 x^2$$

用无量纲的变量  $\xi = \sqrt{\frac{m\omega}{\hbar}} x$  代替  $x$ , 可得  $H = \hbar\omega \left[ -\frac{1}{2} \frac{d^2}{d\xi^2} + \frac{1}{2} \xi^2 \right]$ , 其解析解为  $E = \hbar\omega \left[ n + \frac{1}{2} \right]$ , 其中,  $n = 0, 1, 2, \dots$ 。若令  $\hbar\omega = 1$ ,  $H = -\frac{1}{2} \frac{d^2}{d\xi^2} + \frac{1}{2} \xi^2$ , 解析解可写为  $E = n + \frac{1}{2}$ 。对  $H$  作数值计算, 取步长  $h = \frac{L}{N} = \Delta x = \sqrt{\frac{m\omega}{\hbar}} \Delta\xi$ , 实际计算中  $\sqrt{\frac{m\omega}{\hbar}}$  会被消掉, 故  $\Delta\xi$  代替  $h$  不影响结果。

结果讨论: 固定  $h = 0.001$  时, 改变  $L$ 、 $N$ , 可发现当  $L$ 、 $N$  越大, 数值解与解析解间低能级的误差越小, 如表 1 所示。但不管  $L$ 、 $N$  多大, 高能级的误差都逐渐增大。

表 1  $h = 0.001$  时改变  $L$ 、 $N$ , 观察低能级解析解和数值解的差别

	$n = 0$	$n = 1$	$n = 2$	$n = 3$	$n = 4$
解析解	0.5	1.5	2.5	3.5	4.5
$L = 1$ $N = 1001$	4.931510447 37641	19.69589053 44582	44.27478193 97437	78.68116854 09946	122.9163530 57083
$L = 2$ $N = 2001$	1.296123127 70590	5.066002622 34231	11.23694359 37589	19.86053428 80292	30.94383012 31049
$L = 4$ $N = 4001$	0.537327103 299977	1.764049210 85696	3.397632912 52347	5.580367909 32628	8.361832881 62222
$L = 8$ $N = 8001$	0.500000455 750021	1.500014342 18614	2.500199451 28994	3.501680737 95429	4.509589490 99117

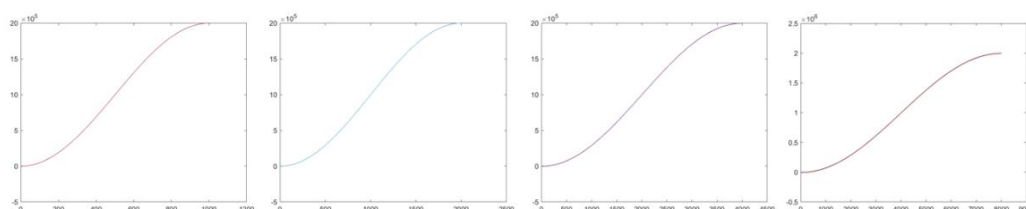


图 1  $h = 0.001$  时改变  $L$ 、 $N$ , 观察误差。能级越高, 误差越大。

现在再固定  $L$ , 改变  $N$ , 发现不管  $N$  如何增大, 解析解和数值解之间的误差特别大, 即使低能级间误差也极大, 如表 2 所示。

表 2  $L = 1$  时, 不同  $N$  下低能级解析解和数值解间的差别

	$n = 0$	$n = 1$	$n = 2$	$n = 3$	$n = 4$
解析解	0.5	1.5	2.5	3.5	4.5
$L = 1$ $N = 1001$	4.93151044 737641	19.695890534 4582	44.2747819 397437	78.6811685 409946	122.916353 057083
$L = 1$ $N = 2001$	4.94130612 663513	19.735169381 6396	44.3633763 463864	78.8390655 363717	123.163789 681531
$L = 1$ $N = 4001$	4.94621428 118392	19.754841032 9234	44.4077122 594004	78.9179987 862575	123.287315 311630
$L = 1$ $N = 8001$	4.94867093 890568	19.764684911 7551	44.4298898 422902	78.9574613 583921	123.349029 288674

再固定  $N$ , 改变  $L$ , 发现随着  $L$  的增大, 低能级的解析解和数值解间的误差减小 (如表 3 所示), 高能级的几乎无影响。

表 3  $N = 8001$  时, 不同  $L$  下低能级解析解和数值解间的差别

	$n = 0$	$n = 1$	$n = 2$	$n = 3$	$n = 4$
解析解	0.5	1.5	2.5	3.5	4.5
$L = 10$ $N = 8001$	0.499999951 241922	1.49999975959 291	2.499999448 24074	3.499999987 93629	4.500010509 90390
$L = 8$ $N = 8001$	0.500000455 750021	1.50001434218 614	2.500199451 28994	3.501680737 95429	4.509589490 99117
$L = 4$ $N = 8001$	0.537394111 075159	1.76443265885 267	3.398710352 57137	5.582503544 74557	8.365354641 00869
$L = 2$ $N = 8001$	1.297874997 70430	5.07318512633 181	11.25335280 19190	19.88990694 70908	30.98991063 74567
$L = 1$ $N = 8001$	4.948670938 90568	19.7646849117 551	44.42988984 22902	78.95746135 83921	123.3490292 88674

通过这些尝试, 发现  $L$  越大,  $N$  越大, 低能级的数值解与解析解间的误差越小。

## 第二小题

采用第一小题的做法, 用无量纲的变量  $\xi = \sqrt{\frac{m\omega}{\hbar}}x$  代替  $x$ , 并取  $k = \sqrt{\frac{m\omega}{\hbar}}$ , 则  $A \cos(kx + \theta)$

可化为  $A \cos(\xi + \theta)$ , 若令  $\hbar\omega = 1$ ,  $H = -\frac{1}{2}\frac{d^2}{d\xi^2} + \frac{1}{2}\xi^2 + A \cos(\xi + \theta)$ 。

现在考察相同  $\theta$  下, 低能级随  $A$  的变化

a)  $\theta = 1$

表 4  $\theta = 1$  时不同  $A$  下低能级本征值

	$n = 0$	$n = 1$	$n = 2$	$n = 3$	$n = 4$
$A = 1$	0.637475519 284959	1.669891810 53778	2.593165431 71669	3.480426997 68669	4.386917108 08903
$A = 0.1$	0.539715823 243520	1.520476093 08230	2.505424347 01352	3.494212677 94577	4.486382758 77372
$A = 0.01$	0.504184881 671883	1.502097858 50590	2.500527037 71215	3.499390186 91773	4.498622546 28067
$A = 0.001$	0.500420527 939161	1.500210181 78652	2.500052289 23445	3.499939099 93812	4.499872124 46152

可见,  $A$  越小, 能级越接近谐振子的能级。

现在考察相同  $A$  下，低能级随  $\theta$  的变化

b)  $A = 0.001$

	$n = 0$	$n = 1$	$n = 2$	$n = 3$	$n = 4$
$\theta = 0$	0.500778731 372309	1.500389167 26190	2.500096953 98124	3.499886809 55293	4.499753676 79245
$\theta = 0.1$	0.500774838 139670	1.500387222 24523	2.500096468 96538	3.499887378 03894	4.499754964 47355
$\theta = 0.01$	0.500778692 444932	1.500389148 04475	2.500096949 30244	3.499886815 21814	4.499753689 84384
$\theta = 0.001$	0.500778730 855846	1.500389167 02759	2.500096953 89199	3.499886809 43385	4.499753676 98893

可见， $\theta$  的大小并不会影响本征值。

第三小题：

a) 椭圆型无限深势阱的本征值和本征态（程序参见：disancizuoyedis anxiaoti\_a\_tuoyuan.m）

势阱如下：

$$V = \begin{cases} 0, \left(\frac{x}{5}\right)^2 + \left(\frac{y}{3}\right)^2 \leq 1 \\ \infty, \left(\frac{x}{5}\right)^2 + \left(\frac{y}{3}\right)^2 > 1 \end{cases}$$

结果如下：

波函数的分布与二维无限深方势阱中波函数的分布相似，都是集中在某些区域，且波函数的对称分布与势阱的对称性有关：椭圆的中心位于原点，其对称轴分别为  $x$  轴和  $y$  轴，波函数的分布也关于  $x$  轴和  $y$  轴对称。

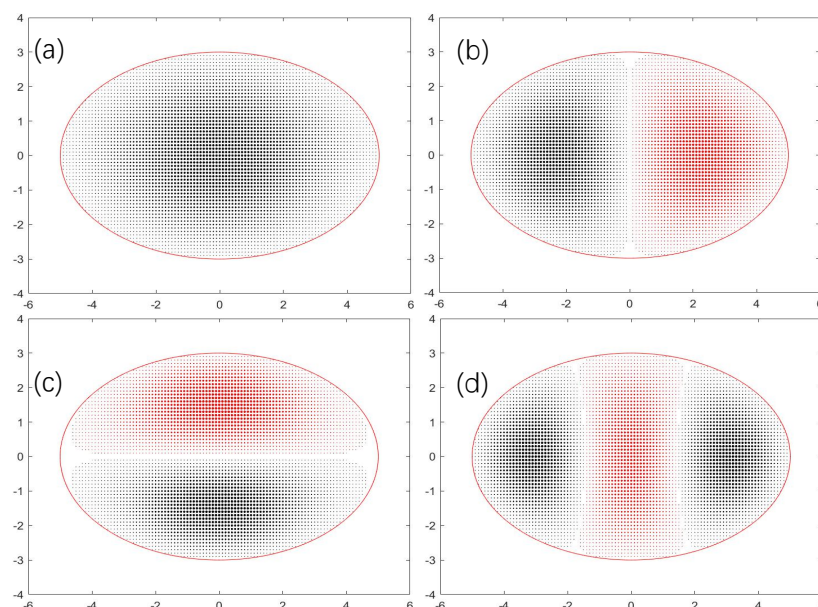


图 2 势阱中波函数的分布：(a)最低能级，(b)次低能级，(c)第三能级，(d)第四能级。红色曲线为

椭圆曲线，标准方程为  $\left(\frac{x}{5}\right)^2 + \left(\frac{y}{3}\right)^2 = 1, x \in [-5, 5]$ ，红色区域和黑色区域为波函数主要分布的区域，其他区域为波函数为 0。

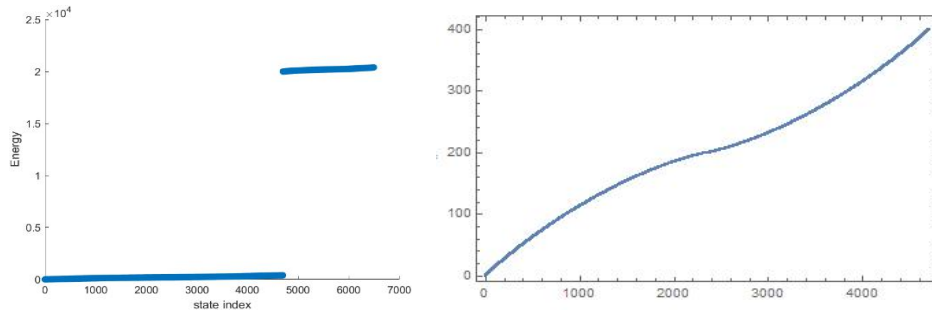


图 3 能谱。右边为低激发能级。

b) 心型无限深势阱的本征值和本征态（程序参见：disancizuoyedisaxiaoti\_b.m）  
势阱如下：

$$\begin{cases} 0, y \leq \sqrt{2\sqrt{x^2} - x^2} \text{ and } y \geq \sin^{-1}(|x| - 1) - \frac{\pi}{2} \\ \infty, \text{other} \end{cases}$$

结果如下：

波函数的分布与二维无限深方势阱中波函数的分布相似，都是集中在某些区域，且波函数的对称分布与势阱的对称性有关：这里的心形势阱只关于 y 轴对称，波函数的分布也只关于 y 轴对称。

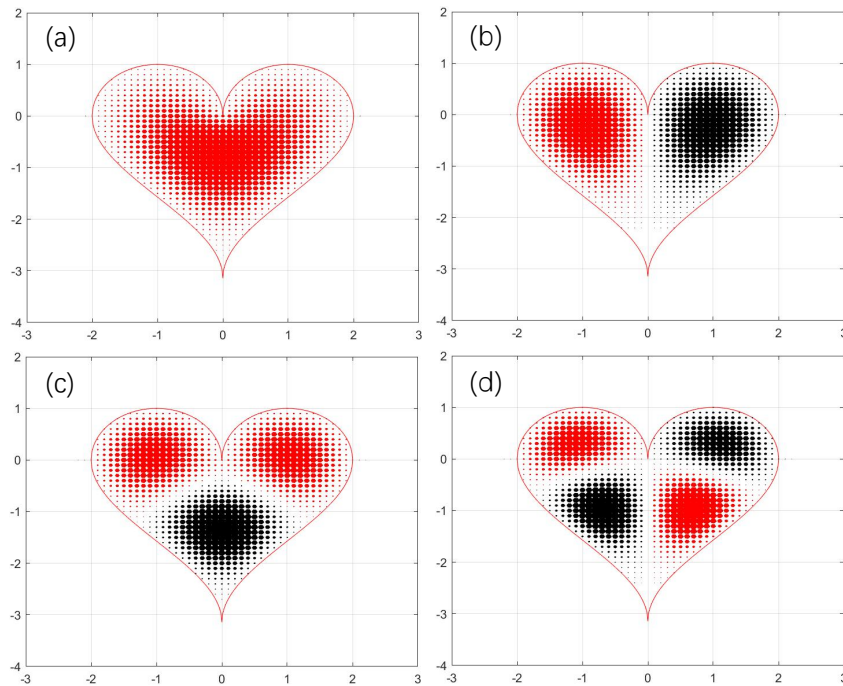


图 4 势阱中波函数的分布：(a)最低能级，(b)次低能级，(c)第三能级，(d)第四能级。红色曲线为

心形曲线，方程为  $\begin{cases} \sqrt{2\sqrt{x^2} - x^2}, \text{上部分} \\ \sin^{-1}(|x| - 1) - \frac{\pi}{2}, \text{下部分} \end{cases}, x \in [-2, 2]$ ，红色区域和黑色区域为波函数主要分布的区域，其他区域为波函数为 0。

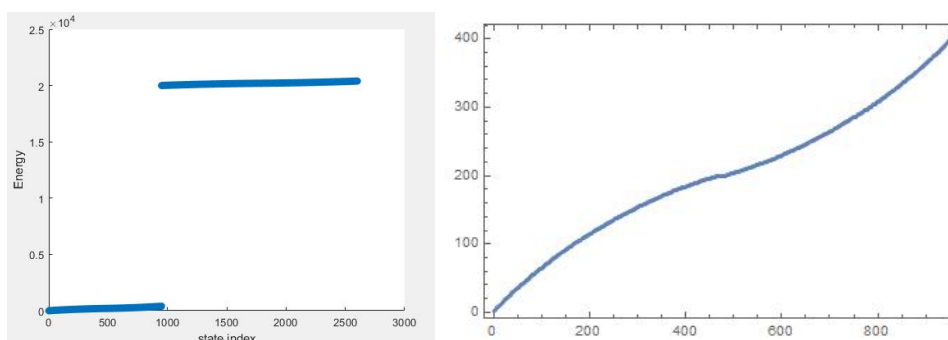


图 5 能谱。右边为低激发能级。

两种势阱的低激发能级比较

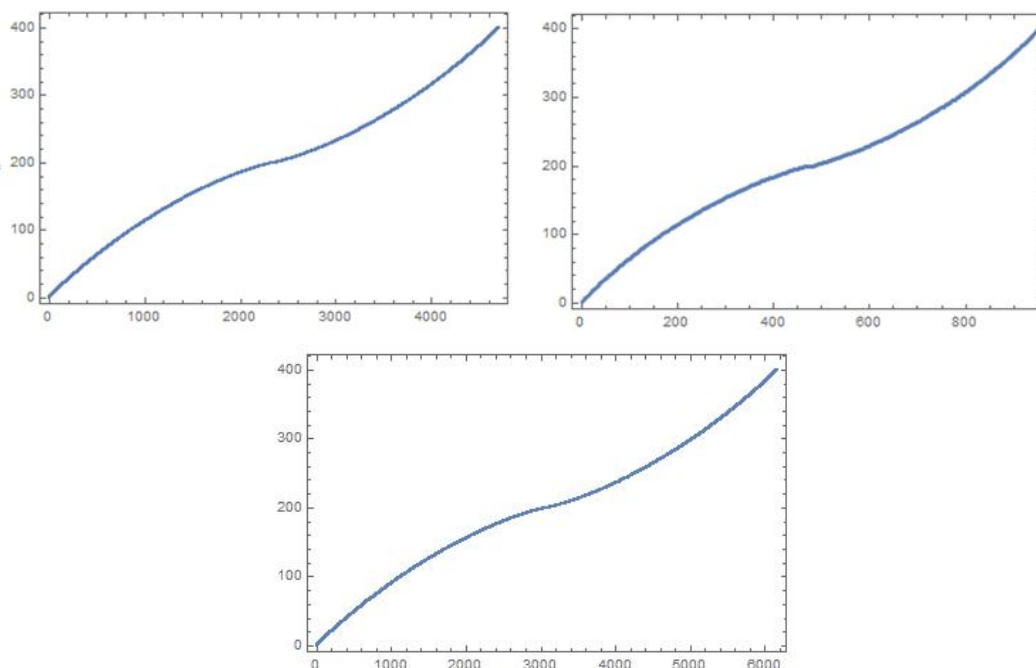


图 6 低激发能级的比较：第一行，椭圆形无限深势阱（左边），心形无限深势阱（右边）。第二行，矩形无限深方势阱。可见这三种无限深势阱的低激发能级所处的能量范围是相同的，只是势阱中所能容纳的个数不同，那么矩形无限深方势阱的能级表达式也应适用于其他两种无限深势阱。  
c) 操场形无限深势阱的本征值和本征态（程序参见：disancizuoyedis anxiaoti\_a\_caochang.m）势阱如下：

$$V = \begin{cases} 0, & -3 \leq x \leq 3 \text{ and } -3 - \sqrt{9 - x^2} \leq y \leq 3 + \sqrt{9 - x^2} \\ \infty, & \text{other} \end{cases}$$

结果如下：

波函数的分布与二维无限深方势阱中波函数的分布相似，都是集中在某些区域，且波函数的对称分布与势阱的对称性有关。势阱既关于 x 轴对称，又关于 y 轴对称，故波函数的分布也是既关于 x 轴对称，又关于 y 轴对称。

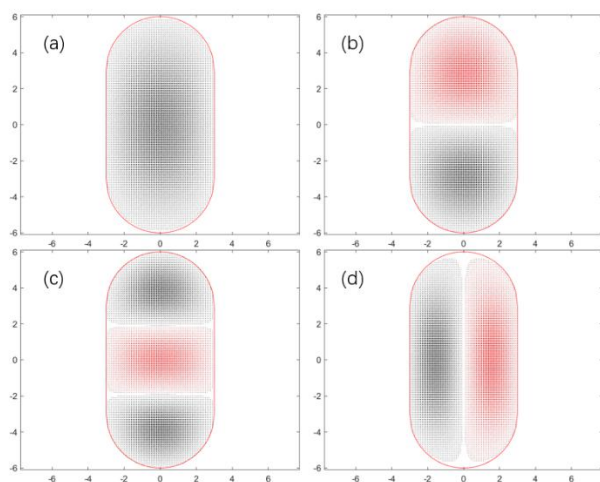


图 7 不同能级的波函数分布：(a)最低能级的波函数分布；(b) 次低能级的波函数分布；(c) 第三能级的波函数分布；(d) 第四能级的波函数分布。红色曲线为势阱的形状，红色区域和黑色区域为波函数主要分布的区域。可见波函数的分布与势阱的对称性有关。

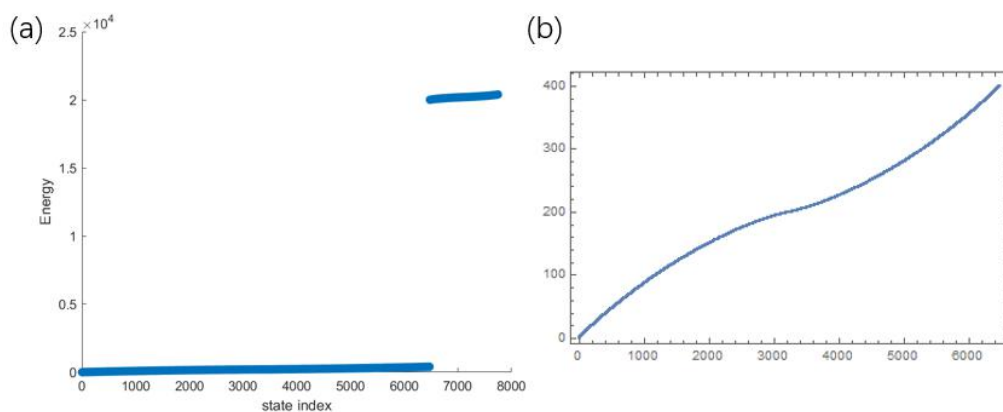


图 8 (a)操场形无限深势阱的能谱；(b)低能级的能谱